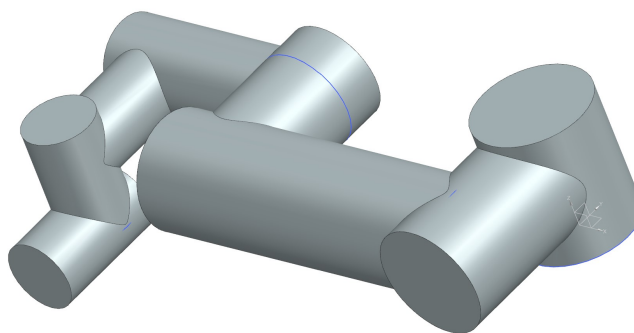
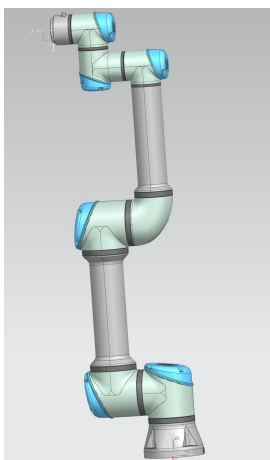


پروژه‌ی درس مقدمه‌ای بر رباتیک

فروغ افخمی اردکانی، علی بهمنیار، سینا ربیعی، سمیرا سلجوقی

خرداد ماه ۱۴۰۱

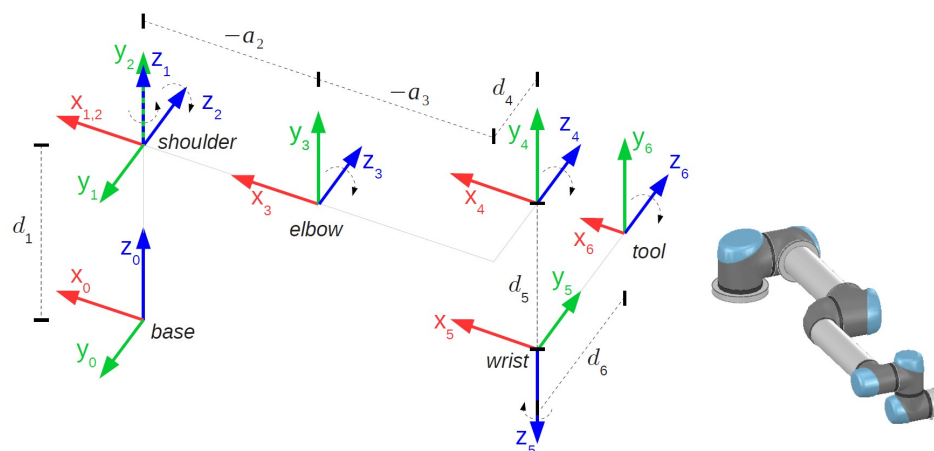
۱ بررسی مشخصات ربات



شکل ۱: طراحی مدل سه بعدی ربات در نرم افزار NX و محاسبه‌ی مشخصات ربات از روی آن

۲ به دست آوردن پارامترهای دناویت-هارتنبرگ

ابتدا با توجه به دناویت هارتنبرگ اصلاح شده (Modified) فریم‌ها را به مفصل‌های ربات اختصاص می دهیم و سپس جدول مربوطه را تکمیل می کنیم:



شکل ۲: قرارگیری محورهای دناویت-هارتنبرگ بر روی ربات

i	a_{i-1}	α_{i-1}	d_i	θ_i
1	0	0	d_1	θ_1
2	0	90	0	θ_2
3	a_2	0	0	θ_3
4	a_3	0	d_4	θ_4
5	0	90	d_5	θ_5
6	0	-90	d_6	θ_6

جدول ۱: پارامترهای دناویت-هارتنبرگ

Modified DH :

$$T_1^0 = \begin{bmatrix} C_1 & -S_1 & 0 & 0 \\ S_1 & C_1 & 0 & 0 \\ 0 & 0 & 1 & d_1 \\ 0 & 0 & 0 & 1 \end{bmatrix} \quad T_2^1 = \begin{bmatrix} C_2 & -S_2 & 0 & 0 \\ 0 & 0 & -1 & 0 \\ S_2 & C_2 & 0 & 0 \\ 0 & 0 & 0 & 1 \end{bmatrix} \quad T_3^2 = \begin{bmatrix} C_3 & -S_3 & 0 & a_2 \\ S_3 & C_3 & 0 & 0 \\ 0 & 0 & 1 & 0 \\ 0 & 0 & 0 & 1 \end{bmatrix}$$

$$T_4^3 = \begin{bmatrix} c_4 & -S_4 & 0 & a_3 \\ S_4 & C_4 & 0 & d_4 \\ 0 & 0 & 1 & 0 \\ 0 & 0 & 0 & 1 \end{bmatrix} \quad T_5^4 = \begin{bmatrix} C_5 & -S_5 & 0 & 0 \\ 0 & 0 & -1 & -d_5 \\ S_5 & C_5 & 0 & 0 \\ 0 & 0 & 0 & 1 \end{bmatrix} \quad T_6^5 = \begin{bmatrix} C_6 & -S_6 & 0 & 0 \\ 0 & 0 & 1 & d_6 \\ -S_6 & -C_6 & 0 & 0 \\ 0 & 0 & 0 & 1 \end{bmatrix}$$

۳ به دست آوردن موقعیت مجری نهایی

در ادامه در متلب تابعی با نام DH تعریف می کنیم که متغیرهای مفاصل را با بردار t و پارامترهای ثابت ربات را به عنوان ورودی دریافت می کند و در خروجی با توجه به جدول DH ماتریسهای تبدیل را خروجی می دهد.

حال در فایل FK.m این تابع را با تعریف متغیرهای گفته شده صدا می زنیم و ماتریسهای تبدیل را به دست می آوریم. در بخش صحت سنجی نیز در ابتدا مقادیر پارامترهای ثابت را که از دیتاشیت جمع آوری کرده بودیم، قرار می دهیم و حالت zero configuration ربات را در نظر می گیریم. سپس با استفاده از توابع Peter Corke ابتدا لینکهای ربات را با دستور *Link* با فرمت زیر تعریف می کنیم:

```

1 L = Link(dh, options)
2
3 DH = [THETA D A ALPHA SIGMA OFFSET]
4
5 % theta: joint angle
6 % d: link offset
7 % a: link length
8 % alpha: link twist
9 % sigma: 0 if revolute, 1 if prismatic

```

Listing 1: Peter Corke's Link

در ادامه با دستور *SerialLink* لینکها را به هم مرتبط می سازیم و در نهایت با دستور *fkine* و دادن zero configuration در ورودی، ماتریسهای تبدیل را به دست می آوریم که نتایج با نتایج بخش قبل یکسان است.

برای ماتریسهای دوران نیز ابتدا تابعی تعریف می کنیم (RDH.m) که ماتریسهای تبدیل را در ورودی دریافت کرده و با جدا کردن بخش دوران آن، ماتریسهای دوران را خروجی می دهد و در نهایت با صدا زدن این تابع در فایل Rotation.m ماتریسهای دوران را به دست می آوریم:

۱.۳ ماتریس H

$$\begin{pmatrix} \cos(t_6) \sigma_5 - \sigma_1 \cos(t_1) \sin(t_6) & -\sin(t_6) \sigma_5 - \sigma_1 \cos(t_1) \cos(t_6) & \sigma_3 & d_6 \sigma_3 + d_4 \sin(t_1) - a_3 \cos(t_2 + t_3) \cos(t_1) - a_2 \cos(t_1) \cos(t_2) + d_5 \sigma_1 \cos(t_1) \\ -\cos(t_6) \sigma_4 - \sigma_1 \sin(t_1) \sin(t_6) & \sin(t_6) \sigma_4 - \sigma_1 \cos(t_6) \sin(t_1) & -\sigma_2 - \sigma_6 & d_5 \sigma_1 \sin(t_1) - d_4 \cos(t_1) - a_3 \cos(t_2 + t_3) \sin(t_1) - a_2 \cos(t_2) \sin(t_1) - d_6 (\sigma_2 + \sigma_6) \\ \sigma_7 \sin(t_6) + \sigma_1 \cos(t_5) \cos(t_6) & \sigma_7 \cos(t_6) - \sigma_1 \cos(t_5) \sin(t_6) & -\sigma_1 \sin(t_5) & d_1 + d_5 (\sin(t_2 + t_3) \sin(t_4) - \cos(t_2 + t_3) \cos(t_4)) - a_3 \sin(t_2 + t_3) - a_2 \sin(t_2) - d_6 \sin(t_5) (\cos(t_2 + t_3) \sin(t_4) + \sin(t_2 + t_3) \cos(t_4)) \\ 0 & 0 & 0 & 1 \end{pmatrix}$$

where

$$\sigma_1 = \sin(t_2 + t_3 + t_4)$$

$$\sigma_2 = \cos(t_1) \cos(t_5)$$

$$\sigma_3 = \cos(t_5) \sin(t_1) - \sigma_7 \cos(t_1) \sin(t_5)$$

$$\sigma_4 = \cos(t_1) \sin(t_5) - \sigma_7 \cos(t_5) \sin(t_1)$$

$$\sigma_5 = \sin(t_1) \sin(t_5) + \sigma_7 \cos(t_1) \cos(t_5)$$

$$\sigma_6 = \sigma_7 \sin(t_1) \sin(t_5)$$

$$\sigma_7 = \cos(t_2 + t_3 + t_4)$$

۲.۳ ماتریس R

$$\begin{pmatrix} \cos(t_6) \sigma_3 - \sigma_1 \cos(t_1) \sin(t_6) & -\sin(t_6) \sigma_3 - \sigma_1 \cos(t_1) \cos(t_6) & \cos(t_5) \sin(t_1) - \sigma_4 \cos(t_1) \sin(t_5) \\ -\cos(t_6) \sigma_2 - \sigma_1 \sin(t_1) \sin(t_6) & \sin(t_6) \sigma_2 - \sigma_1 \cos(t_6) \sin(t_1) & -\cos(t_1) \cos(t_5) - \sigma_4 \sin(t_1) \sin(t_5) \\ \sigma_4 \sin(t_6) + \sigma_1 \cos(t_5) \cos(t_6) & \sigma_4 \cos(t_6) - \sigma_1 \cos(t_5) \sin(t_6) & -\sigma_1 \sin(t_5) \end{pmatrix}$$

where

$$\sigma_1 = \sin(t_2 + t_3 + t_4)$$

$$\sigma_2 = \cos(t_1) \sin(t_5) - \sigma_4 \cos(t_5) \sin(t_1)$$

$$\sigma_3 = \sin(t_1) \sin(t_5) + \sigma_4 \cos(t_1) \cos(t_5)$$

$$\sigma_4 = \cos(t_2 + t_3 + t_4)$$

۴ به دست آوردن زوایای مجری نهایی

در این بخش روابط مربوط به هر کدام از نمایش‌ها را از کتاب‌های مرجع استخراج می‌کنیم و با داشتن ماتریس‌های تبدیل این نمایش‌ها را برای مجری نهایی ربات بر حسب متغیرهای مفصلی به دست می‌آوریم.

۱.۴ نمایش محور-زاویه (Equivalent angle—axis representation):

$${}^A_B R_K(\theta) = \begin{bmatrix} r_{11} & r_{12} & r_{13} \\ r_{21} & r_{22} & r_{23} \\ r_{31} & r_{32} & r_{33} \end{bmatrix}, \quad R_K(\theta) = \begin{bmatrix} k_x k_x v \theta + c \theta & k_x k_y v \theta - k_z s \theta & k_x k_z v \theta + k_y s \theta \\ k_x k_y v \theta + k_z s \theta & k_y k_y v \theta + c \theta & k_y k_z v \theta - k_x s \theta \\ k_x k_z v \theta - k_y s \theta & k_y k_z v \theta + k_x s \theta & k_z k_z v \theta + c \theta \end{bmatrix}$$

$$\hat{K} = \frac{1}{2 \sin \theta} \begin{bmatrix} r_{32} - r_{23} \\ r_{13} - r_{31} \\ r_{21} - r_{12} \end{bmatrix}, \quad \theta = \text{Acos} \left(\frac{r_{11} + r_{22} + r_{33} - 1}{2} \right)$$

شکل ۳: روابط نمایش محور-زاویه

۲.۴ نمایش زوایای ثابت (X-Y-Z fixed angles):

$$\begin{aligned}
 {}^A_B R_{XYZ}(\gamma, \beta, \alpha) &= R_Z(\alpha) R_Y(\beta) R_X(\gamma) \\
 &= \begin{bmatrix} c\alpha & -s\alpha & 0 \\ s\alpha & c\alpha & 0 \\ 0 & 0 & 1 \end{bmatrix} \begin{bmatrix} c\beta & 0 & s\beta \\ 0 & 1 & 0 \\ -s\beta & 0 & c\beta \end{bmatrix} \begin{bmatrix} 1 & 0 & 0 \\ 0 & c\gamma & -s\gamma \\ 0 & s\gamma & c\gamma \end{bmatrix}, \\
 {}^A_B R_{XYZ}(\gamma, \beta, \alpha) &= \begin{bmatrix} c\alpha c\beta & c\alpha s\beta s\gamma - s\alpha c\gamma & c\alpha s\beta c\gamma + s\alpha s\gamma \\ s\alpha c\beta & s\alpha s\beta s\gamma + c\alpha c\gamma & s\alpha s\beta c\gamma - c\alpha s\gamma \\ -s\beta & c\beta s\gamma & c\beta c\gamma \end{bmatrix}. \\
 \beta &= \text{Atan2}(-r_{31}, \sqrt{r_{11}^2 + r_{21}^2}), \\
 \alpha &= \text{Atan2}(r_{21}/c\beta, r_{11}/c\beta), \\
 \gamma &= \text{Atan2}(r_{32}/c\beta, r_{33}/c\beta), \\
 {}^A_B R_{XYZ}(\gamma, \beta, \alpha) &= \begin{bmatrix} r_{11} & r_{12} & r_{13} \\ r_{21} & r_{22} & r_{23} \\ r_{31} & r_{32} & r_{33} \end{bmatrix}.
 \end{aligned}$$

شکل ۴: روابط نمایش زوایای ثابت

۳.۴ نمایش زوایای اوایلر (Z-Y-Z Euler angles):

$$\begin{aligned}
 {}^A_B R_{Z'Y'Z'}(\alpha, \beta, \gamma) &= \begin{bmatrix} c\alpha c\beta c\gamma - s\alpha s\gamma & -c\alpha c\beta s\gamma - s\alpha c\gamma & c\alpha s\beta \\ s\alpha c\beta c\gamma + c\alpha s\gamma & -s\alpha c\beta s\gamma + c\alpha c\gamma & s\alpha s\beta \\ -s\beta c\gamma & s\beta s\gamma & c\beta \end{bmatrix}. \\
 \beta &= \text{Atan2}(\sqrt{r_{31}^2 + r_{32}^2}, r_{33}), \\
 \alpha &= \text{Atan2}(r_{23}/s\beta, r_{13}/s\beta), \\
 \gamma &= \text{Atan2}(r_{32}/s\beta, -r_{31}/s\beta). \\
 {}^A_B R_{Z'Y'Z'}(\alpha, \beta, \gamma) &= \begin{bmatrix} r_{11} & r_{12} & r_{13} \\ r_{21} & r_{22} & r_{23} \\ r_{31} & r_{32} & r_{33} \end{bmatrix},
 \end{aligned}$$

شکل ۵: روابط نمایش زوایای اوایلر

۴.۴ نمایش چهارگانه یکه (Quaternion):

$$\begin{aligned}
 -1 &= i^2 = j^2 = k^2 \\
 i &= jk = -kj \\
 j &= ki = -ik \\
 k &= ij = -ji \\
 Q &= q_0 + iq_1 + jq_2 + kq_3 \quad q_0^2 + q_1^2 + q_2^2 + q_3^2 = 1 \\
 \text{Rotation by } \theta &\text{ about the unit vector } n = (n_x, n_y, n_z)^T \\
 \downarrow \\
 Q &= (\cos \frac{\theta}{2}, n_x \sin \frac{\theta}{2}, n_y \sin \frac{\theta}{2}, n_z \sin \frac{\theta}{2})
 \end{aligned}$$

۵ به دست آوردن فضای کاری ربات

برای به دست آوردن فضای کاری پس از تعیین کردن مقادیر ثابت ربات، یک حلقه تو در تو به تعداد درجات آزادی ربات (۶) ایجاد می کنیم که هر حلقه یکی از متغیرهای مفصلی را از صفر تا 2π با فواصل 0.07π می چرخاند (با کاهش فواصل دقت فضای کاری بیشتر و در نتیجه حجم اطلاعات و زمان اجرا شدن برنامه بیشتر خواهد شد). در ادامه در داخلی ترین حلقه، ماتریس تبدیل مجری نهایی به دستگاه پایه را به دست می آوریم و ماتریس های x و y و z را که به ترتیب سه سطر اول ستون چهارم ماتریس تبدیل است را مشخص می کنیم. برای پر شدن ماتریس های x و y و z در طی اجرا شدن حلقه، یک شمارنده (iterator) به نام b در خارج از حلقه ها تعریف

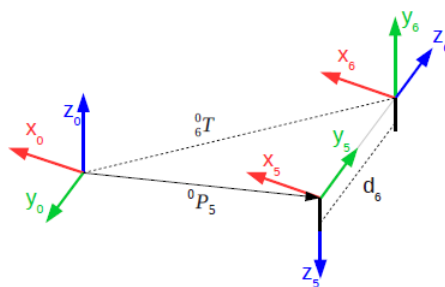
می کنیم که در هر بار ماتریس های فوق را یک ستون جلو ببرد. در نهایت با ترانهاده کردن ماتریس های x و y و z یک ماتریس P تعریف می کنیم که ستون های آن مقادیر x و y و z هستند و سپس با داشتن این ماتریس، دستور *trisurf* مرز و محدوده خارجی این داده ها را رسم می کند که فضای کاری ربات را مشخص می کند. (تعداد همه ی نقاط فضای کاری بسیار زیاد است و رسم آن زمان خیلی زیادی می برد، به همین منظور فقط مرز آن را رسم میکنیم) با توجه به اینکه ربات ۶ درجه آزادی دارد و بنابر دیتاشیت آن هیچ کدام از مفاصل دورانی محدودیتی برای گردش ندارند، فضای کاری ربات یک کره خواهد شد: برای صحت سنجی این بخش نیز مشابه قسمت سینماتیک مستقیم ابتدا لینک ها را تعریف کرده و سپس با دستور *plot* (مربوط به تولباکس Peter Corke) و *pause* در همان حلقه های تو در تو در هر بار فضای کاری را رسم می کنیم. آپشن های *jvec* و *noname* نیز فریم ها را بر روی ربات نمایش داده و همچنین اسم روی صفحه را پاک می کنند.

۶ سینماتیک معکوس ربات

برای محاسبه سینماتیک معکوس تابعی به نام *inverse* تعریف می کنیم که ۶ ورودی شامل جهت گیری و موقعیت مجری نهایی ربات دارد و خروجی آن بردار پارامترهای مفصلی است. در این تابع ابتدا پارامترهای ثابت ربات را مقدار دهی می کنیم و x و y و z را *concatante* میکنیم و در بردار $P60$ (P_6^0) قرار می دهیم. سپس با استفاده از قاعده زوایای ثابت و جهت گیری مجری نهایی (داده شده در ورودی) ماتریس های دوران x ، y ، z را به دست می آوریم و با ضرب این سه ماتریس در یک دیگر ماتریس دوران مجری نهایی را نسبت به فریم 0 محاسبه میشود. با کنار هم قرار دادن ماتریس $R60$ و بردار $P60$ و قرار دادن یک سطر *dumy*، ماتریس $T60$ به دست می آوریم.

۱.۶ محاسبه θ_1

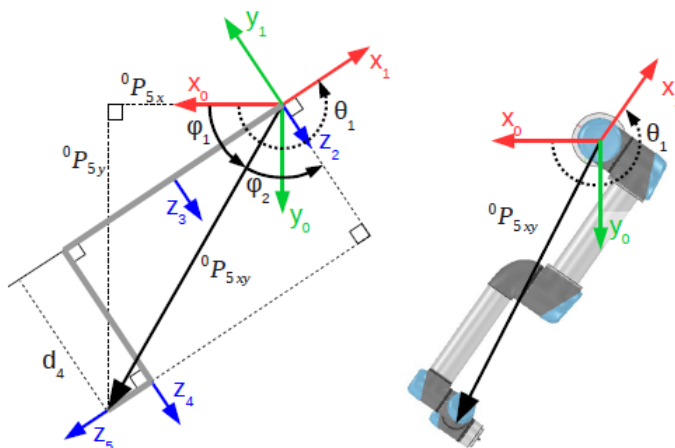
ابتدا یک مثلث تشکیل می دهیم که سه زاویه آن همان مراکز محور های فریم های 0، 5، 6 میباشند. سپس با توجه به شکل میتوان دید که موقعیت مفصل ۵ ام برابر است با موقعیت مفصل ۶ ام منهای d_6 که در جهت z_6 میباشد.



شکل ۶

$$P_5^0 = P_6^0 - d_6 \cdot \hat{Z}_6^0 \quad (۱)$$

برای محاسبه θ_1 ربات را از بالا مشاهده میکنیم:



شکل ۷

با توجه به تصویر میبینیم که دو جوینت 0, 1 روی یکدیگر قرار دارند. زاویه θ_1 زاویه بین x_0 به x_1 در راستای z_1 برابر است. حال با توجه به تصویر میبینیم که :

$$\theta_1 = \phi_1 + \phi_2 + \frac{\pi}{2} \quad (۲)$$

که در اینجا برای محاسبه ϕ_1 ابتدا بردار $\vec{P50}$ را تجزیه کرده و $atan2$ میگیریم. سپس برای محاسبه ϕ_2 با توجه به شکل داریم:

$$\begin{aligned} \cos(\phi_2) &= \frac{d_4}{|{}^0P_{5xy}|} \Rightarrow \\ \phi_2 &= \pm \arccos\left(\frac{d_4}{|{}^0P_{5xy}|}\right) \Leftrightarrow \\ \phi_2 &= \pm \arccos\left(\frac{d_4}{\sqrt{{}^0P_{5x}^2 + {}^0P_{5y}^2}}\right) \end{aligned}$$

شکل ۸

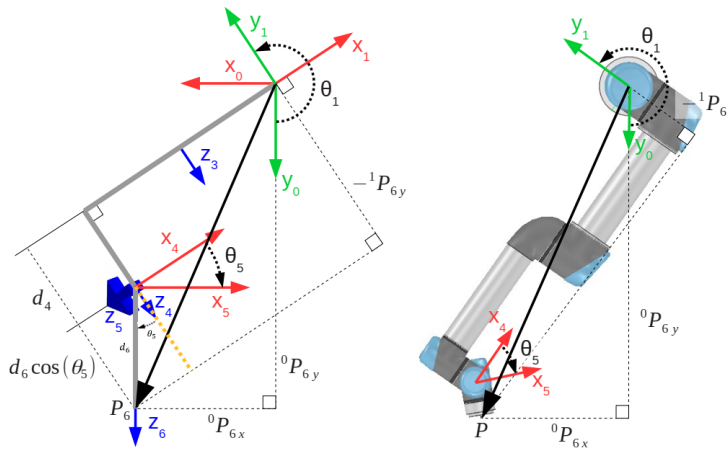
در نهایت θ_1 را با جایگذاری موارد بالا به دست می آوریم و داریم:

$$\theta_1 = \operatorname{atan2}\left({}^0P_{5y}, {}^0P_{5x}\right) \pm \arccos\left(\frac{d_4}{\sqrt{{}^0P_{5x}^2 + {}^0P_{5y}^2}}\right) + \frac{\pi}{2}$$

شکل ۹

۲.۶ محاسبه θ_5

با توجه به شکل:



شکل ۱۰

به دو روش مختلف P_{6y}^1 را محاسبه میکنیم:

۱.۲.۶

با توجه به اینکه θ_5 زاویه بین x_4 به x_5 در جهت z_5 می باشد و d_6 برابر فاصله x_5 به x_6 در جهت z_6 میباشد داریم:

$$-P_{6y}^1 = d_4 = d_6 \cos \theta_5 \quad (۳)$$

روش دیگر به این صورت است که میتوان با استفاده از ترانهادی ماتریس P_6^0, R_1^0 را به P_6^1 تبدیل کرد. (P_6^0 را از قبل داریم که در واقع موقعیت مجری نهایی نسبت به صفر هست که در ورودی داده شده است)

$$\begin{aligned}
 {}^0P_6 &= {}^0_1R \cdot {}^1P_6 \Leftrightarrow \\
 {}^1P_6 &= {}^0_1R^\top \cdot {}^0P_6 \Leftrightarrow \\
 \begin{bmatrix} {}^1P_{6x} \\ {}^1P_{6y} \\ {}^1P_{6z} \end{bmatrix} &= \begin{bmatrix} \cos(\theta_1) & -\sin(\theta_1) & 0 \\ \sin(\theta_1) & \cos(\theta_1) & 0 \\ 0 & 0 & 1 \end{bmatrix}^\top \begin{bmatrix} {}^0P_{6x} \\ {}^0P_{6y} \\ {}^0P_{6z} \end{bmatrix} \Leftrightarrow \\
 \begin{bmatrix} {}^1P_{6x} \\ {}^1P_{6y} \\ {}^1P_{6z} \end{bmatrix} &= \begin{bmatrix} \cos(\theta_1) & \sin(\theta_1) & 0 \\ -\sin(\theta_1) & \cos(\theta_1) & 0 \\ 0 & 0 & 1 \end{bmatrix} \begin{bmatrix} {}^0P_{6x} \\ {}^0P_{6y} \\ {}^0P_{6z} \end{bmatrix} \Rightarrow \\
 {}^1P_{6y} &= {}^0P_{6x} \cdot (-\sin \theta_1) + {}^0P_{6y} \cdot \cos \theta_1
 \end{aligned}$$

شکل ۱۱

پس این دو رابطه باهم برابر قرار میدهم و $\cos \theta_5$ را جدا میکنیم و در آخر \arccos می گیریم.

$$\begin{aligned}
 -d_4 - d_6 \cos \theta_5 &= {}^0P_{6x}(-\sin \theta_1) + {}^0P_{6y} \cos \theta_1 \Leftrightarrow \\
 \cos \theta_5 &= \frac{{}^0P_{6x} \sin \theta_1 - {}^0P_{6y} \cos \theta_1 - d_4}{d_6} \Leftrightarrow \\
 \theta_5 &= \pm \arccos \left(\frac{{}^0P_{6x} \sin \theta_1 - {}^0P_{6y} \cos \theta_1 - d_4}{d_6} \right)
 \end{aligned}$$

شکل ۱۲

علت *real* گرفتن از θ_5 این است که در برخی موارد مقادیر موهومی به دست می آیند که مدنظر ما نیستند.

۳.۶ محاسبه θ_6

به دو روش θ_6 را به دست می آوریم:

۱.۳.۶

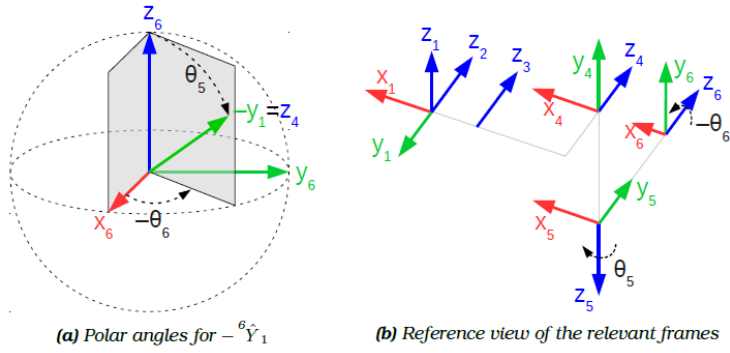
ماتریس R_0^1 و R_6^0 را داریم این دو را در یک دیگر ضرب میکنیم سپس ستون دوم ماتریس دوران را برداشته و به نام Y_1^6 قرار میدهم که برحسب θ_1 خواهد بود که ما θ_1 را از مرحله قبل به دست آوردیم. داریم:

$$\begin{aligned}
 {}^6\hat{Y}_1 &= {}^6\hat{X}_0 \cdot (-\sin \theta_1) + {}^6\hat{Y}_0 \cdot \cos \theta_1 \Leftrightarrow \\
 {}^6\hat{Y}_1 &= \begin{bmatrix} -{}^6\hat{X}_{0x} \cdot \sin \theta_1 + {}^6\hat{Y}_{0x} \cdot \cos \theta_1 \\ -{}^6\hat{X}_{0y} \cdot \sin \theta_1 + {}^6\hat{Y}_{0y} \cdot \cos \theta_1 \\ -{}^6\hat{X}_{0z} \cdot \sin \theta_1 + {}^6\hat{Y}_{0z} \cdot \cos \theta_1 \end{bmatrix}
 \end{aligned}$$

شکل ۱۳

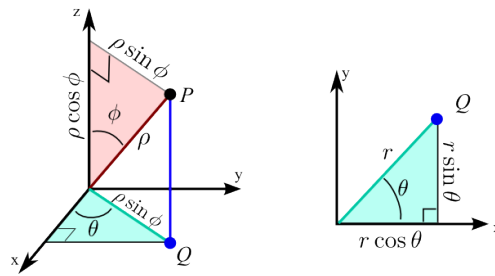
۲.۳.۶

با توجه به شکل زیر:



شکل ۱۴

و تبدیل مختصات کروی به کارتزین و روابط زیر:



$$\begin{aligned} x &= r \sin \theta \cos \phi \\ y &= r \sin \theta \sin \phi \\ z &= r \cos \theta \end{aligned}$$

شکل ۱۵

داریم:

$$\begin{aligned} -{}^6\hat{Y}_1 &= \begin{bmatrix} \sin \theta_5 \cos(-\theta_6) \\ \sin \theta_5 \sin(-\theta_6) \\ \cos \theta_5 \end{bmatrix} \Leftrightarrow \\ {}^6\hat{Y}_1 &= \begin{bmatrix} -\sin \theta_5 \cos \theta_6 \\ \sin \theta_5 \sin \theta_6 \\ -\cos \theta_5 \end{bmatrix} \end{aligned}$$

شکل ۱۶

این دو رابطه را باهم برابر قرار می‌دهیم و به نتایج زیر می‌رسیم:

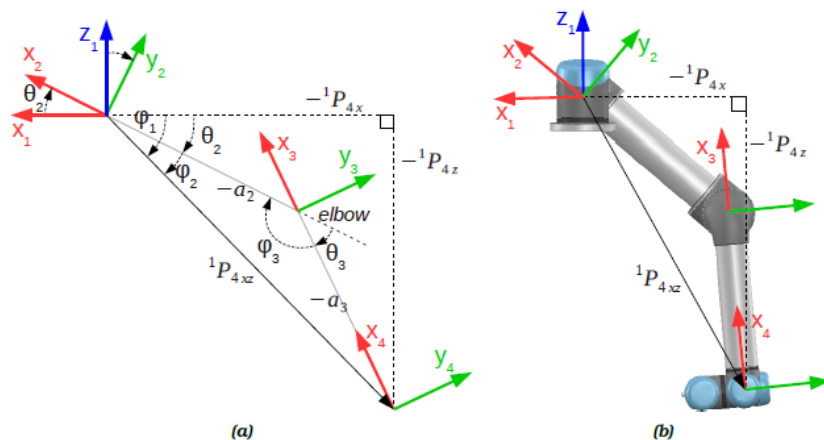
$$\begin{aligned}
& \left. \begin{aligned} -\sin \theta_5 \cos \theta_6 &= -{}^6\hat{X}_{0x} \cdot \sin \theta_1 + {}^6\hat{Y}_{0x} \cdot \cos \theta_1 \\ \sin \theta_5 \sin \theta_6 &= -{}^6\hat{X}_{0y} \cdot \sin \theta_1 + {}^6\hat{Y}_{0y} \cdot \cos \theta_1 \end{aligned} \right\} \Leftrightarrow \\
& \left\{ \begin{aligned} \cos \theta_6 &= \frac{{}^6\hat{X}_{0x} \cdot \sin \theta_1 - {}^6\hat{Y}_{0x} \cdot \cos \theta_1}{\sin \theta_5} \\ \sin \theta_6 &= \frac{-{}^6\hat{X}_{0y} \cdot \sin \theta_1 + {}^6\hat{Y}_{0y} \cdot \cos \theta_1}{\sin \theta_5} \end{aligned} \right\} \Rightarrow \\
& \theta_6 = \text{atan2} \left(\frac{-{}^6\hat{X}_{0y} \cdot \sin \theta_1 + {}^6\hat{Y}_{0y} \cdot \cos \theta_1}{\sin \theta_5}, \frac{{}^6\hat{X}_{0x} \cdot \sin \theta_1 - {}^6\hat{Y}_{0x} \cdot \cos \theta_1}{\sin \theta_5} \right)
\end{aligned}$$

شکل ۱۷

و چون در مخرج $\sin \theta_5$ داریم یک شرط میگذاریم که در صورتی که سینوس صفر شود یک مقدار رندم دیگر به θ_6 میدهیم.

۴.۶ محاسبه θ_3

ابتدا تابع DH را فراخوانی میکنیم. (دقت شود مقادیر به دست آمده برای $\theta_1, \theta_5, \theta_6$ را نیز به عنوان ورودی میدهیم) با استفاده از ماتریس های T, T_4^1 را به دست می آوریم سپس ستون آخر آن را که همان P_4^1 است درایه x, z را برداشته و اندازه P_{4xz} را به دست می آوریم.



شکل ۱۸

با توجه به شکل میبینیم که θ_3 مکمل ϕ_3 میباشد. میتوان ϕ_3 را با استفاده از قضیه \cos ها به دست آورد. داریم:

$$\cos \phi_3 = \frac{(-a_2)^2 + (-a_3)^2 - |{}^1P_{4xz}|^2}{2(-a_2)(-a_3)} = \frac{a_2^2 + a_3^2 - |{}^1P_{4xz}|^2}{2a_2a_3}$$

$$\cos \theta_3 = \cos(\pi - \phi_3) = -\cos(\phi_3)$$

$$\begin{aligned}
\cos \theta_3 &= -\frac{a_2^2 + a_3^2 - |{}^1P_{4xz}|^2}{2a_2a_3} \Leftrightarrow \\
\theta_3 &= \pm \arccos \left(\frac{|{}^1P_{4xz}|^2 - a_2^2 - a_3^2}{2a_2a_3} \right)
\end{aligned}$$

شکل ۱۹

۵.۶ محاسبه‌ی θ_2

با توجه به شکل ۱۸ داریم:

$$\theta_2 = \phi_1 - \phi_2 \quad (۴)$$

که ϕ_1 را با استفاده از P_{4z}^1, P_{4x}^1 و $atan2$ به دست می‌آوریم. P ها نیز از روی ماتریس T_1^4 به دست آمده‌اند (برای محاسبه ϕ_2 نیز از قضیه سینوس ها استفاده میکنیم و P_{4xz}^1 را نیز از مرحله قبل داریم. در نتیجه:

$$\begin{aligned} \phi_1 &= atan2(-{}^1P_{4z}, -{}^1P_{4x}) \\ \frac{\sin \phi_2}{-a_3} &= \frac{\sin \phi_3}{|{}^1P_{4xz}|} \Leftrightarrow \\ \phi_2 &= asin\left(\frac{-a_3 \sin \phi_3}{|{}^1P_{4xz}|}\right) \end{aligned}$$

$$\theta_2 = \phi_1 - \phi_2 = atan2(-{}^1P_{4z}, -{}^1P_{4x}) - asin\left(\frac{-a_3 \sin \theta_3}{|{}^1P_{4xz}|}\right)$$

شکل ۲۰

۶.۶ محاسبه‌ی θ_4

ابتدا تابع DH را فراخوانی میکنیم. (دقت شود مقادیر به دست آمده برای $\theta_{1,2,3,5,6}$ را نیز به عنوان ورودی میدهیم) با استفاده از T ها T_3^4 را محاسبه میکنیم:

$$\begin{aligned} T_4 &= \\ &\begin{bmatrix} \cos(t_4) & -\sin(t_4) & 0 & -a_3 \\ \sin(t_4) & \cos(t_4) & 0 & 0 \\ 0 & 0 & 1 & d_4 \\ 0 & 0 & 0 & 1 \end{bmatrix} \end{aligned}$$

شکل ۲۱

باتوجه به این ماتریس درایه 1, 2 ستون اول را برداشته و $atan2$ میگیریم تا θ_4 به دست آید. سپس q ها را باهم concatenate میکنیم و به صورت بردار \vec{Q} خروجی میدهیم. در بخش inverse Kinematic تابع inverse را با ورودی های موقعیت و جهت گیری مجری نهایی فراخوانی میکنیم.

۷.۶ صحت‌سنجی سینماتیک معکوس

برای راستی آزمایی یک path درست کرده ایم که q_1 از -90 تا 90 درجه می‌رود. یک حلقه از -0.5 تا 0.5 تعریف میکنیم با گام های 0.1 که هر بار t که بردار متغیر های مفصلی ما هست همه را صفر قرار میدهیم ولی برای $i \times \pi$ ، $t(1)$ میگذاریم. سپس تابع DH را با t و بقیه پارامتر های a, d فراخوانی میکنیم و P, R را از دل ماتریس T بیرون میکشیم. با توجه به ماتریس شکل ۲۲ مقادیر α, β, γ را به دست می‌آوریم و به تابع inverse میدهیم و Q را به دست می‌آوریم.

$${}^A_B R_{XYZ}(\gamma, \beta, \alpha) = \begin{bmatrix} c\alpha c\beta & c\alpha s\beta s\gamma - s\alpha c\gamma & c\alpha s\beta c\gamma + s\alpha s\gamma \\ s\alpha c\beta & s\alpha s\beta s\gamma + c\alpha c\gamma & s\alpha s\beta c\gamma - c\alpha s\gamma \\ -s\beta & c\beta s\gamma & c\beta c\gamma \end{bmatrix}.$$

شکل ۲۲

سپس Link های ربات را تعریف کرده و با serialLink آنها را به هم متصل میکنیم. در نهایت *ur.plot* میکنیم که ورودی را نیز Q میدهیم (Q هر بار که حلقه طی میشود تغییر میکند). در میبینیم که مفصل اول یک نیم دایره را طی میکند که البته لزوماً Q هایی که به ما میدهد آن چیزی نیست که ما فکر میکنیم چون به هر نقطه در فضای کاری میتوان با چند جهت گیری رسید. مهم این است که مسیر مورد نظر مارا طی میکند.

۷ به دست آوردن ماتریس ژاکوبین

ما دونوع ژاکوبین داریم: ۱. *general velocity propagation* ۲.

۱.۷ ژاکوبین *general*

در ژاکوبین *general* ما به ردیف ۱ تا ۳ ستون سوم و ستون آخر ماتریس T نیاز داشتیم که ردیف ۱ تا ۳ ستون سوم z و ردیف آخر o نامگذاری شده است. با توجه به *modified* بودن نامگذاری محورها و نوع *joint* ها که همگی *revolute* هستند از رابطه ۵ استفاده می کنیم. یک تابع با نام *Jacobain_General* تعریف کرده ایم که خروجی آن یک ماتریس 6×6 می باشد که سه ردیف بالا مربوط به ژاکوبین خطی است و سه ردیف آخر مربوط به ژاکوبین زاویه ای می باشد و ورودی آن هم t هست تا اگر خواستیم به t ها مقدار دهیم (t در واقع زاویه های هر *joint* می باشد). به پارامترهای a, d مقدار داده ایم (اگرچه میتوان این تابع را به صورت سیمبولیک هم اجرا کرد). در ابتدا یک بار DH و RDH را فراخوانی می کنیم سپس خروجی این دو تابع را با دستور *cat* پشت سر هم قرار می دهیم در واقع ماتریس های R و T به دست آمده را به صورت مجزا پشت سر هم قرار می دهیم و یک ارایه ۳ بعدی می سازیم. حلقه ی مربوط به o هم برای به دست آوردن ماتریس T_{ee} نسبت به $frame_0$ است تابتوانیم از ردیف ۱ تا ۳ ستون آخر آن در محاسبه ژاکوبین ها استفاده کنیم. یک حلقه ۶ تایی می نویسیم، هر بار طی شدن حلقه مربوط به یک *joint* می باشد. درون این حلقه دو ماتریس $T_current$ و $R_current$ را به صورت همانی تعریف می کنیم. حال با نوشتن یک حلقه دیگر از ۱ تا i (شماره ی *joint* مربوطه) T_i و R_i را نسبت به $frame_0$ حساب می کنیم. با توجه به روابط مربوط به جزوه، ستون i ماتریس J_v و J_w را حساب می کنیم. (دقت شود با هر بار طی شدن حلقه ی اصلی ماتریس های $T_current$ و $R_current$ دوباره تبدیل به ماتریس همانی می شوند) در قسمت *Jacobian-General*، ابتدا t را که ورودی تابع است به صورت *syms* و یک بردار ردیفی ۶ تایی تعریف می کنیم و تابع ژاکوبین را فراخوانی میکنیم سپس J_v و J_w به دست آمده را *simplify* کرده و سپس *concatenate* می کنیم.

$$J_{6 \times 6} = \begin{bmatrix} J_v \\ J_w \end{bmatrix} \quad J_v = J_{wa} J_{w3 \times 6} = [z_0^0 | R_1^0 Z_1^1 | R_2^0 Z_2^2 | R_3^0 Z_3^3 | R_4^0 Z_4^4 | R_5^0 Z_5^5 | R_6^0 Z_6^6] \quad (5)$$

۲.۷ ژاکوبین *velocity-omega*

در این روش ابتدا باید v و w را به دست آوریم در نتیجه یک تابع با نام *velocity_omega* تعریف کرده ایم که در ابتدا v و w را برابر یک بردار سه تایی ۰ قرار می دهیم. t و q را به صورت متغیرهای سیمبولیک و یک بردار افقی ۶ تایی تعریف می کنیم و به a, d ها هم مقدار داده ایم. سپس دوباره توابع DH ، RDH را فراخوانی می کنیم و T ها و R ها را باهم *cat* می کنیم تا به صورت یک ماتریس سه بعدی در بیایند. سپس یک حلقه ی ۶ تایی مینویسیم و در آن ماتریس P را برابر ماتریس T_{i+1} نسبت به $frame_i$ قرار می دهیم زیرا بعداً به ردیف ۱ تا ۳ ستون آخر آن نیاز داریم. با توجه به اینکه محور ها *Modified* هستند و مفصل ها *revolute* هستند، از روابط ۶ استفاده کرده و در حلقه ی مربوطه v و w نهایی را حساب میکنیم. چون v و w که هر بار به دست می آوریم نسبت به همان *frame* میباشد در نتیجه v و w نهایی نسبت به $frame_{ee}$ می باشند. در نتیجه در ماتریس RT ضرب میکنیم تا نسبت به $frame_0$ آن را به دست آوریم. (دقت شود هر بار در v و w از v و w قبلی استفاده می شود و هر بار اپدیت هم می شوند)

$$\begin{aligned} {}^{i+1}\omega_{i+1} &= {}^{i+1}_i R^i \omega_i + \dot{\theta}_{i+1} \hat{Z}_{i+1} \\ {}^{i+1}v_{i+1} &= {}^{i+1}_i R^i (v_i + {}^i\omega_i \times {}^i P_{i+1}) \end{aligned} \quad (6)$$

در روش اصلی، باید اینگونه باشد که یک ماتریس به دست آوریم که با ضرب در یک بردار ستونی که شامل مشتق متغیرهای مفصل میباشد به v و w نهایی برسیم که ماتریس های به دست آمده J_v و J_w خواهند بود. ایده ای که در اینجا پیاده سازی شده بدین گونه است که ما به جای استفاده از مشتق t ها یک بردار سیمبولیک با نام q تعریف کرده ایم و در نتیجه برای مثال اگر از درایه اول v نسبت به $q(1)$ مشتق بگیریم بقیه q ها صفر می شوند و ضرایبشان از بین می رود در نتیجه ضرب $q(1)$ باقی می ماند و در درایه ۱۱ ماتریس J_v قرار می گیرد. با یک حلقه ۶ تایی این کار انجام شده است و نتایج مربوط به J_v و نتایج مربوط به J_w را باهم *concatenate* می کنیم تا J_v و J_w به دست بیایند. حال در بخش مربوط به *Jacobian_Velocity_propagation* تابع *velocity_omega* را فراخوانی کرده و تابع *Jacobain_Velocity_propagation* را با خروجی تابع قبلی فراخوانی میکنیم. سپس با *concatenate* کردن J_v و J_w به دست آمده، به ژاکوبین اصلی می رسیم.

۸ به دست آوردن تکینگی‌های ربات

در ابتدا serial Link ها را تعریف کرده ایم. حال یک حلقه ی ۶ تایی داریم که متغیر های مفصلی را با گام‌های 0.2, 0.2 جلو میبرد و سپس ژاکوبین general را با متغیر های مفصلی حلقه ها فراخوانی میکنیم و \dot{J}_v و \dot{J}_w را concatenate می‌کنیم. سپس دترمینان ژاکوبین را حساب کرده و اگر از یک حد مشخصی کمتر بود آن حالت را *ur.plot* می‌کنیم. همه ی حالت های singular را با گام های 0.001 ثانیه ای *ur.plot* می‌کنیم.

روش دیگر (همان قسمت کامنت شده) در این روش سه مفصل اخر را در یک جهت گیری قفل کرده ایم که این جهت گیری موجب singularity نمی‌شود و سه جوینت اول را مچرخانیم چون در روش قبلی زمان زیادی طول میکشد تا کشیدگی ها را رد کند و به نقاط واضح تر singularity برسد. در این روش سه لینک اخر را بدون offset در نظر میگیریم و ماتریس ژاکوبین را به صورت بلوکی یعنی 4×3 ماتریس 3×3 می‌نویسیم که شامل $J_{11}, J_{12}, J_{22}, J_{21}$ می‌شود. J_{11} مربوط به سه لینک اول و ژاکوبین خطی آنهاست و J_{21} مربوط به سه مفصل اول و ژاکوبین زاویه ای آن ها است. J_{22} مربوط به ژاکوبین زاویه سه مفصل اخر میباشد. J_{12} صفر میشود که در واقع ژاکوبین خطی سه مفصل اخر می‌باشد که چون offset ندارند R هم ندارند که R ضرب خارجی اش در w را بتوان حساب کرد درواقع صفر می‌شود در نتیجه ماتریس ژاکوبین ما یک ماتریس پایین مثلثی میشود که در صورتی دترمینانش صفر است که دترمینان بلوک های روی قطرش صفر شود. دترمینان J_{22} صفر نمیشود چون در حالتی فیکس شده است که باعث singularity نشود. در نتیجه J_{11} را حساب میکنیم و اگر از حدی کوچک تر بود آن حالت را به عنوان singularity وارد ماتریس singular می‌کنیم و همچنین آن ها را هم *ur.plot* می‌کنیم.

۹ به دست آوردن دینامیک ربات

برای محاسبه دینامیک یک تابع تعریف می‌کنیم که ورودی نمی‌گیرد و ماتریس های D و C و G را خروجی می‌دهد و در نهایت با صدا زدن این تابع ماتریس‌های فوق محاسبه می‌شوند. روند کلی این تابع به این صورت است که در ابتدا پارامتر های ثابت ربات، متغیرهای مفصلی (t), متغیرهای مربوط به جرم لینک‌ها (m) و متغیرهای اینرسی لینک‌ها را به طور کلی تعریف می‌کنیم و سپس با استفاده از حلقه برای هر کدام از لینک‌ها ماتریس متقارن 3×3 اینرسی و ماتریس سطری جرم (شامل جرم های هر لینک) را به دست می‌آوریم.

سپس ماتریس‌های D و C و G و بردار \vec{rc} (فواصل مراکز جرم از زمین) و P و همچنین برای ژاکوبین ها، ماتریس‌های \dot{J}_v و \dot{J}_w را با توجه به ابعادشان تعریف کرده و مقدار اولیه صفر می‌دهیم. چون در ادامه همه محاسبات به صورت سمبولیک انجام می‌شود، این مقداردهی اولیه را نیز با *sym* تعریف می‌کنیم. در این بخش علاوه بر توابع DH و RDH که ماتریس‌های تبدیل و دوران را تولید می‌کردند، به تابع DHC نیز نیاز داریم تا با گرفتن پارامتر های ثابت ربات، ماتریس های تبدیل مرتبط با مرکز جرم هر لینک نسبت به همان لینک را تولید کند (نسبت به پایه نیستند)، به همین ترتیب این ماتریس‌ها دوران ندارند و ماتریس دوران آن‌ها همانی است و فقط آفست‌های آن‌ها در ماتریس position تعیین شده است. حال پس از فراخوانی این سه تابع و با دستور *cat*، ماتریس‌ها را در یک آرایه سه بعدی پشت سر هم قرار می‌دهیم.

می‌دانیم برای به دست آوردن J_{vc_i} برای هر مفصل، در هر مرحله با تغییر مفصل و مرکز جرم، روابط مربوط به مفاصل قبل تغییر می‌کنند اما مفاصل بعدی آن تأثیری ندارند و ستون های مفاصل بعدی صفر می‌شوند. برای J_{wc_i} نیز مفاصل بعدی بی‌تأثیر خواهند بود. به عنوان نمونه برای سه مفصل اول به این صورت خواهد بود (همه مفاصل ربات گردشی هستند):

$$\begin{aligned} J_{vc_1} &= [Z_{c_1}^0 \times (O_{c_1}^0 - O_1^0) | 0 | 0 | 0 | 0] \\ J_{vc_2} &= [Z_{c_1}^0 \times (O_{c_2}^0 - O_1^0) | Z_{c_2}^0 \times (O_{c_2}^0 - O_2^0) | 0 | 0 | 0] \\ J_{vc_3} &= [Z_{c_1}^0 \times (O_{c_2}^0 - O_1^0) | Z_{c_2}^0 \times (O_{c_2}^0 - O_2^0) | Z_{c_3}^0 \times (O_{c_3}^0 - O_3^0) | 0 | 0 | 0] \end{aligned}$$

$$\begin{aligned} J_{wc_1} &= [Z_{c_1}^0 | 0 | 0 | 0 | 0] \\ J_{wc_2} &= [Z_{c_1}^0 | Z_{c_2}^0 | 0 | 0 | 0] \\ J_{wc_3} &= [Z_{c_1}^0 | Z_{c_2}^0 | Z_{c_3}^0 | 0 | 0] \end{aligned}$$

بنابراین در هر مرحله برای محاسبه J_{vc} به ماتریس‌های T_c^0 و T_i^0 و R_i^0 و ماتریس های T_c^0 و R_j^0 که $j < i$ است نیاز داریم. به همین منظور برای محاسبه T_c^0 و T_i^0 ابتدا خارج از حلقه دو ماتریس همانی *current* تعریف می‌کنیم و در هر بار گذر حلقه ماتریس‌های $T_{c_i}^{i-1}$ و T_i^{i-1} و R_i^{i-1} در ماتریس‌های مفاصل قبلی ضرب می‌شوند و در هر حلقه ماتریس‌های $T_{c_i}^0$ و R_i^0 را در ماتریس های *stack* شان ذخیره می‌کنیم. حال با داشتن ماتریس‌های فوق و مطابق روابط بالا J_{vc_i} و J_{wc_i} برای هر مفصل محاسبه می‌شوند.

در ادامه برای هر مفصل مقدار مولفه‌ی z بردار \vec{rc} را برای $\vec{O}_{c_i}^0$ آن مفصل قرار می‌دهیم (فواصل مراکز جرم تا زمین) و ماتریس D را نیز با توجه به رابطه‌ی آن تشکیل می‌دهیم.

روابط ماتریس D و C و G و P به صورت زیر هستند:

$$P = \sum_{i=1}^n P_i = \sum_{i=1}^n g^T r_{ci} m_i \quad K = \frac{1}{2} \dot{q}^T D(q) \dot{q} \quad K = \frac{1}{2} \dot{q}^T \sum_{i=1}^n [m_i J_{v_i}(q)^T J_{v_i}(q) + J_{\omega_i}(q)^T R_i(q) I_i R_i(q)^T J_{\omega_i}(q)] \dot{q}$$

$$G_k = \frac{\partial P}{\partial q_k}$$

شکل ۲۳: روابط ماتریس‌های دینامیکی

برای ماتریس C به ۳ اندیس و در نتیجه ۳ حلقه تو در تو نیاز داریم که در آن با توجه به فرمول c_{ijk} نسبت به عناصر ماتریس D مشتق گرفته و ماتریس C را به صورت زیر پر می‌کند:

$$C_k = [\sum_{j=1}^n c_{1jk} \sum_{j=1}^n c_{2jk} \dots \sum_{j=1}^n c_{njk}] \quad (7)$$

در ادامه برای استفاده بهینه از حلقه با استفاده از اندیس اول (k) ماتریس P را نیز با توجه به رابطه‌اش تشکیل می‌دهیم که در آن g را برابر 9.8 قرار داده‌ایم. در آخر نیز در یک حلقه جداگانه با مشتق گرفتن از عناصر ماتریس P نسبت به متغیر مفصلی، ماتریس G را محاسبه می‌کنیم.